

# Il porisma di Steiner

Luciano Battaia\*

Versione del 4 maggio 2007

In questo articolo è proposta una ampia trattazione del famoso *Porisma di Steiner*. Tutte le figure sono state costruite utilizzando il pacchetto PSTricks e le sue estensioni, in particolare pst-eucl.

Il lavoro è stato prodotto durante il corso di introduzione a L<sup>A</sup>T<sub>E</sub>X, svolto nella classe 3<sup>a</sup>B del Liceo Scientifico “Michelangelo Grigoletti” di Pordenone, A.S. 2006 – 2007.

Come complemento a questo fascicolo è possibile esaminare un’animazione, realizzata con Cabri, all’indirizzo <http://www.batmath.it/cabri/steiner/steiner.htm>.

## Indice

1	L’enunciato del problema	1
2	Inversione di due circonferenze, senza punti comuni, in due circonferenze concentriche	2
3	Conclusioni	3
4	I codici per la costruzione delle figure con PSTricks	4
5	Qualche figura, per il piacere degli occhi	5
6	Steiner e Apollonio: il caso $n = 3$	7

## 1 L’enunciato del problema

Siano  $\mathcal{C}$  e  $\mathcal{C}'$  due circonferenze di raggi  $R$  ed  $r$  ( $R > r$ ), interne una all’altra. Sia poi  $\gamma_1$  una circonferenza tangente sia a  $\mathcal{C}$  che a  $\mathcal{C}'$ . Successivamente sia  $\gamma_2$  una circonferenza tangente a  $\mathcal{C}$ ,  $\mathcal{C}'$  e  $\gamma_1$ ,  $\gamma_3$  una circonferenza (diversa da  $\gamma_1$ ) tangente a  $\mathcal{C}$ ,  $\mathcal{C}'$  e  $\gamma_2$ , e così via. Diciamo che la “catena”  $\gamma_1, \gamma_2, \dots$  si chiude se esiste un intero  $n$  tale che  $\gamma_n$  sia tangente a  $\gamma_1$  e quindi  $\gamma_{n+1} = \gamma_1$ .

Ebbene, se la catena si chiude, la posizione iniziale di  $\gamma_1$  non è importante: il fatto che la catena si chiuda dipende solo dalle due circonferenze date  $\mathcal{C}$  e  $\mathcal{C}'$ .

Una catena chiusa di circonferenze con le proprietà indicate si chiama anche una *catena di Steiner*.

Nella figura 1 è rappresentato il caso  $n = 4$ , con due diverse situazioni di partenza.

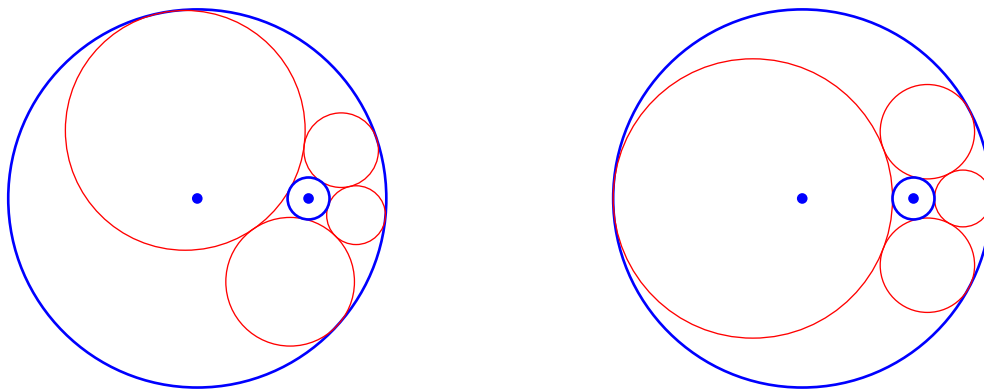
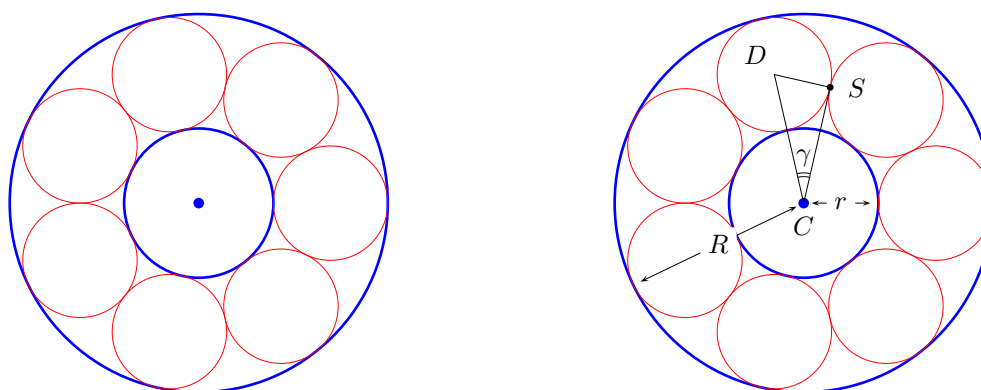


Figura 1: Porisma di Steiner: il caso  $n = 4$ , con due diverse situazioni iniziali

Si noti che la modifica della posizione della circonferenza iniziale rende la figura completamente diversa, facendo variare il raggio di tutte le circonferenze della catena.

\*<http://www.batmath.it>

Per rendersi conto del perchè la posizione della circonferenza iniziale è ininfluenza, cominciamo a considerare il caso in cui le due circonferenze date sono concentriche, quando la proprietà indicata è evidente.



**Figura 2:** Porisma di Steiner: il caso  $n = 7$  con due circonferenze di base concentriche

Esaminando la costruzione di destra nella figura 2 si può facilmente ricavare il legame che deve intercorrere tra i raggi  $r$  ed  $R$  delle due circonferenze di base e il numero delle circonferenze della catena, affinché la catena stessa si chiuda.

Si ha:

- il triangolo  $\triangle CSD$  è retto in  $S$ ;
- l'angolo  $\gamma$  vale  $\pi/n$ ;
- $DS = (R - r)/2$ ;
- $CD = r + (R - r)/2 = (R + r)/2$ .

Se ne deduce che si ha:

$$\sin\left(\frac{\pi}{n}\right) = \frac{R - r}{R + r},$$

da cui

$$\frac{r}{R} = \frac{1 - \sin\left(\frac{\pi}{n}\right)}{1 + \sin\left(\frac{\pi}{n}\right)}.$$

Per trattare il caso generale di due circonferenze non concentriche occorre premettere una importante proprietà di una coppia di circonferenze non aventi punti in comune.

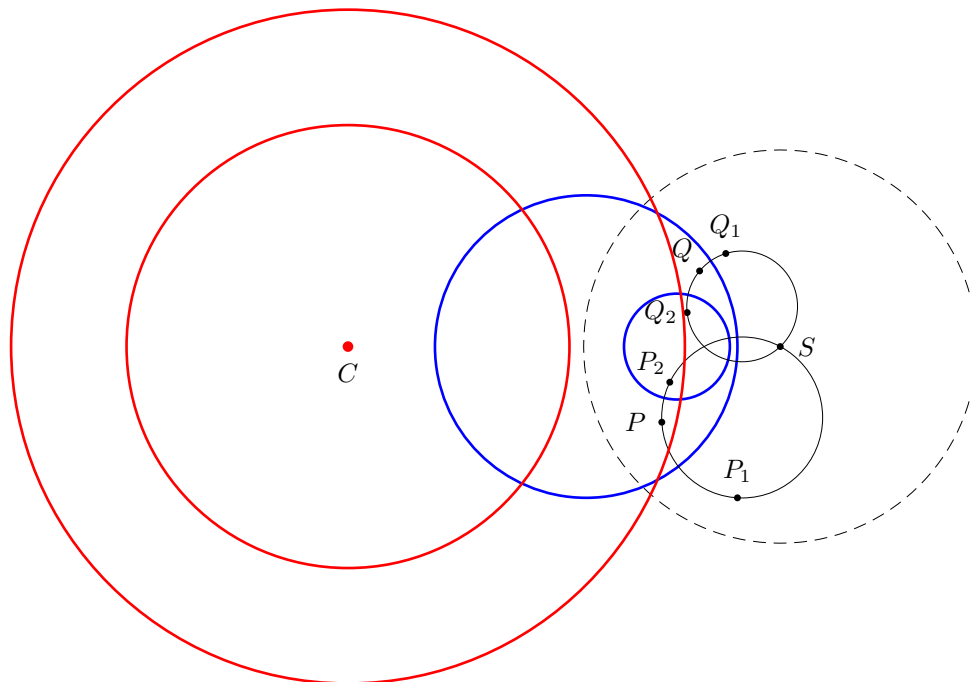
## 2 Inversione di due circonferenze, senza punti comuni, in due circonferenze concentriche

*Date due qualunque circonferenze del piano, prive di punti comuni, è sempre possibile trasformarle, mediante inversione, in due circonferenze concentriche.*

Si tratta di una proprietà legata alle caratteristiche dei fasci di circonferenze, di cui qui non vogliamo dare una dimostrazione, quanto piuttosto una costruzione geometrica, basata sui punti seguenti.

- Si considerano due circonferenze  $\mathcal{C}$  e  $\mathcal{C}'$  qualunque, non aventi punti in comune. Due circonferenze come queste individuano un *fascio iperbolico* di circonferenze.
- Si prende un punto  $P$  non appartenente a nessuna delle due circonferenze.
- Si considerano gli inversi,  $P_1$  e  $P_2$ , di  $P$  rispetto alle due circonferenze.
- La circonferenza  $\mathcal{C}_1$  passante per  $P, P_1, P_2$  è ortogonale sia a  $\mathcal{C}$  che a  $\mathcal{C}'$  (si tratta di una delle circonferenze appartenenti al *fascio ortogonale* rispetto a quello delle due circonferenze date).
- Si ripete la costruzione precedente con un altro punto  $Q$ , ottenendo una circonferenza  $\mathcal{C}_2$ , ortogonale alle due date.
- Considerando un circolo  $\mathcal{I}$  con centro in uno dei due punti, diciamolo  $S$ , di intersezione delle circonferenze  $\mathcal{C}_1$  e  $\mathcal{C}_2$  (che sono detti *punti critici* del fascio iperbolico) e prendendo le inverse delle due circonferenze  $\mathcal{C}$  e  $\mathcal{C}'$  rispetto a  $\mathcal{I}$  si ottengono due circonferenze con centro comune  $C$ .

La costruzione completa è riportata nella figura che segue.

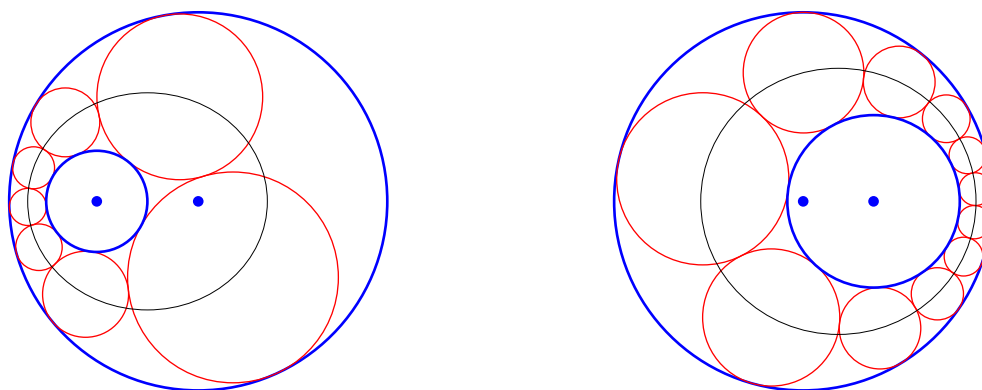


**Figura 3:** *Inversione di due circonferenze in due circonferenze concentriche*

### 3 Conclusioni

Siccome due circonferenze senza punti comuni possono essere trasformate, per inversione rispetto ad un opportuno circolo, in due circonferenze concentriche, si può ora procedere a costruire, se possibile, una catena di Steiner per questa figura simmetrica. L'inversione rispetto allo stesso circolo precedente produrrà la figura richiesta per la configurazione originale: basta tenere conto che nell'inversione sono mantenute tutte le condizioni di tangenza. È ora evidente il perché la posizione della circonferenza iniziale non è influente.

L'inversione mantiene le condizioni di tangenza, ma non i centri delle circonferenze: c'è dunque da aspettarsi che i centri delle circonferenze della catena non stiano su una circonferenza (come avviene per la figura simmetrica). Infatti questi centri stanno su un'ellisse di cui i centri delle circonferenze di base sono i fuochi.



**Figura 4:** *Il porisma di Steiner: evidenziazione della conica dei centri in due casi.*

## 4 I codici per la costruzione delle figure con PSTricks

Tutte le figure presenti in questo fascicolo sono costruite utilizzando PSTricks e la sua estensione pst-eucl.

Abbiamo utilizzato due macro (da inserire preferibilmente nel preambolo) per facilitare la costruzione dei punti inversi e delle circonferenze inverse. Il codice, ampiamente commentato è riportato qui di seguito.

### I codici delle macro

```

%%%%%%%%%%%%%%%%%%%%%%%%%%%%%%%%%%%%%%%%%%%%%%%%%%%%%%%%%%%%%%%%%%%%%%%%
%Comando \pstInv con 5 parametri, di cui uno opzionale: calcola l'inverso di un punto, dato
%il centro e il raggio del circolo di inversione (che non viene però disegnato)
% Par1 (opzionale): il punto punto inverso non viene disegnato nè nominato; le opzioni da inserire
%sono le solite di pst-eucl, con l'avvertenza che il punto è il punto B
%(PointNameB, PointSymbolB, ecc.)
% Parametro 2: il centro di inversione (un nodo già definito)
% Parametro 3: il raggio del circolo di inversione, che deve essere un numero reale
% Parametro 4: il punto di cui calcolare l'inverso
% Parametro 5: il nome di nodo del punto inverso (disegnato solo se PointNameB è posto a default
%o qualcos'altro)
%%%%%%%%%%%%%%%%%%%%%%%%%%%%%%%%%%%%%%%%%%%%%%%%%%%%%%%%%%%%%%%%%%%%%%%%
%Comando \pstInvCirc con 5 parametri, di cui uno opzionale: calcola l'inverso di un circolo,
%dato il centro e il raggio del circolo di inversione
% Par1 (opzionale): con le solite opzioni di pst-eucl consente di dare una nome al centro
%del circolo inverso, un colore e uno spessore al circolo inverso, ecc.
% Parametro 2: il centro di inversione (un nodo già definito)
% Parametro 3: il raggio del circolo di inversione, che deve essere un numero reale
% Parametro 4: il centro del cerchio di cui calcolare l'inverso
% Parametro 5: un punto che individui il circolo di cui calcolare l'inverso
%%%%%%%%%%%%%%%%%%%%%%%%%%%%%%%%%%%%%%%%%%%%%%%%%%%%%%%%%%%%%%%%%%%%%%%%
\makeatletter
\newcommand{\pstInv}[5] [] {%
\pstInterLC[Radius=\pstDistVal{#3},PointNameA=none,PointSymbolA=none,%
PointNameB=none,PointSymbolB=none]{#2}{#4}{#2}{X}{Q}%
\pstRotation[RotAngle=90,PointName=none,PointSymbol=none]{#2}{Q}[T]%
\pstTranslation[PointName=none,PointSymbol=none]{#4}{Q}[T][S]%
\pstInterLL[PointName=none,PointSymbol=none]{Q}{S}{#2}{T}{N}%
\pstCircleOA[linestyle=none]{#2}{N}%
{\psset{PointNameA=none,PointSymbolA=none,PointNameB=none,PointSymbolB=none}}%
\pstInterLC[#1]{#2}{#4}{#2}{N}{R}{#5}}%
}
\newcommand{\pstInvCirc}[5] [] {%
{\psset{PointSymbol=none,PointName=none}}
\pstInterLC[#4]{#2}{#4}{#5}{R1}{S1}
\pstInv{#2}{#3}{R1}{R1'}
\pstInv{#2}{#3}{S1}{S1'}
}
\pstMiddleAB[#1]{R1'}{S1'}{M1}
\pstCircleOA[#1]{M1}{S1'}
}
\makeatother

```

### Il codice della figura

Il codice, ampiamente commentato, contiene una parte con alcuni parametri che possono essere facilmente cambiati per ottenere diverse figure.

```

\begin{pspicture*}(-8,-8)(8,8)
\psset{linewidth=0.3pt}
%%% Parametri modificabili %%%%%%%%%
%Il raggio della circonferenza grande di base, che deve avere centro C nell'origine
\newcommand{\rgrande}{2.5}
%Un numero strettamente compreso tra -1 e 1, e diverso da zero, per posizionare
%il centro della circonferenza C' piccola di base. Se positivo C' sta a sinistra
%di C, altrimenti a destra.

```

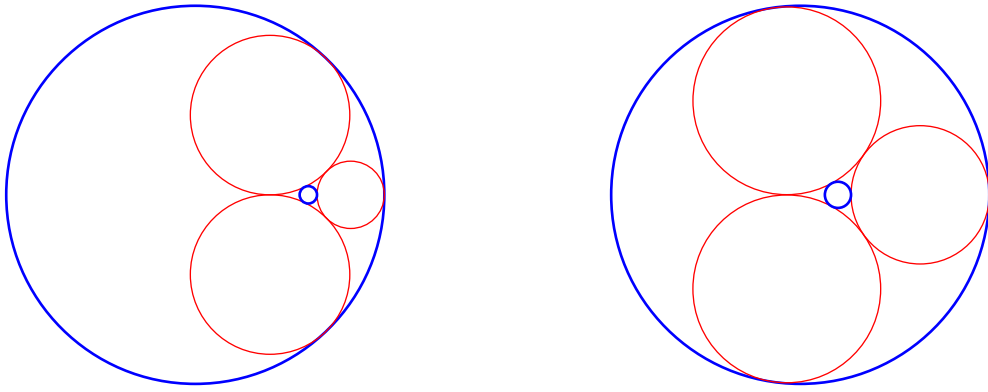
```

\newcommand{\distcentri}{-0.6}
%Il numero di circonferenze della catena di Steiner, maggiore o uguale a 3.
\newcommand{\numcirc}{4}
%L'angolo, compreso tra 0 e 360, che individua il punto di tangenza tra la
%circonferenza grande di base e la prima circonferenza della catena
\newcommand{\anginiz}{100}
%%% Fine parametri modificabili %%%
%Le ascisse dei punti a sinistra e a destra dell'origine sulla circ grande di base
\newcommand{\xA}{-\rgrande}\newcommand{\xB}{\rgrande}
%L'ascissa di un punto tra A e il centro della circ grande di base, il cui inverso
%rispetto a \rgrande sar  il centro del circolo di inversione
\newcommand{\xP}{-\rgrande\space \distcentri\space mul}
%Il raggio del circolo di inversione (non ha alcuna influenza sul risultato finale)
\newcommand{\rinv}{2}
%L'angolo di cui far ruotare successivamente la prima circonferenza (nella configurazione
%simmetrica) per ottenere poi tutte le circonferenze
\newcommand{\angrot}{360 \numcirc\space div}
%Il centro del circolo di inversione (calcolato prendendo l'inverso del punto di ascissa xP)
\newcommand{\xI}{\rgrande\space 2 exp \xP\space div}
%L'ascissa dell'inverso di A
\newcommand{\xAA}{\xI\space \rinv\space 2 exp \xA\space \xI\space sub div add}
%L'ascissa dell'inverso di B
\newcommand{\xBB}{\xI\space \rinv\space 2 exp \xB\space \xI\space sub div add}
%Il raggio grande della figura simmetrica
\newcommand{\rgrandeI}{\xAA\space \xBB\space sub abs 2 div}
%Il raggio piccolo della figura simmetrica
\newcommand{\rpiccoloI}{\rgrandeI\space 1 180 \numcirc\space div sin sub 1 180 %
\space \numcirc\space div sin add div mul}
%I punti base
\pstGeonode[PointName=none,PointSymbol={default,none},linecolor=blue,linewidth=1pt]{%
(0,0){C}{!\xI\space 0}{I}{!\xAA\space 0}{A'}{!\xBB\space 0}{B'}{!\xA\space 0}{A}{!\xB\space 0}{B}
\pstCircleOA[linewidth=1pt,linecolor=blue]{C}{A}
%Il circolo di inversione (che non ha bisogno di essere disegnato)
%\pstCircleOA[Radius=\pstDistVal{\rinv}]{I}{}
%Il punto di tangenza del primo circolo della catena e il suo inverso
\pstRotation[RotAngle=\anginiz,PointName=none,PointSymbol=none]{C}{B}[Q]
\pstInv{I}{\rinv}{Q}{Q'}
\pstMiddleAB[PointName=none,PointSymbol=none]{A'}{B'}{M}
%Il circolo grande della configurazione simmetrica (che non ha bisogno di essere disegnato)
%\pstCircleOA{M}{A'}
\pstInterLC[Radius=\pstDistVal{\rpiccoloI},PointName=none,PointSymbol=none]{M}{C}{M}{V}{U}
%Il circolo piccolo della configurazione simmetrica, che non ha bisogno di essere disegnato
%\pstCircleOA{M}{U}
%Determinazione del centro del primo circolo della catena, nella figura simmetrica
\pstInterLC[PointName=none,PointSymbol=none]{M}{Q'}{M}{U}{R}{S}
\pstMiddleAB[PointName=none,PointSymbol=none]{S}{Q'}{D}
{\psset{PointName=none,PointSymbol=none}
\multido{\n=1+1}{\numcirc}{\pstRotation[RotAngle=\angrot\space \n\space 1 sub mul]{M}{Q'}[T\n]}
\multido{\n=1+1}{\numcirc}{\pstRotation[RotAngle=\angrot\space \n\space 1 sub mul]{M}{D}[D\n]}
}
\multido{\n=1+1}{\numcirc}{\pstInvCirc[linecolor=red,linewidth=0.5pt,%
PointName=none,PointSymbol=none]{I}{\rinv}{D\n}{T\n}}
\pstInvCirc[linecolor=blue,linewidth=1pt,PointName=none]{I}{\rinv}{M}{U}
\end{pspicture*}

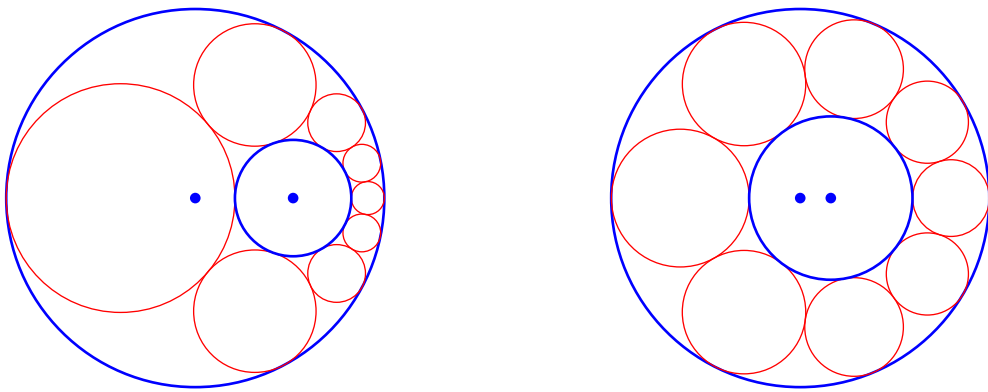
```

## 5 Qualche figura, per il piacere degli occhi

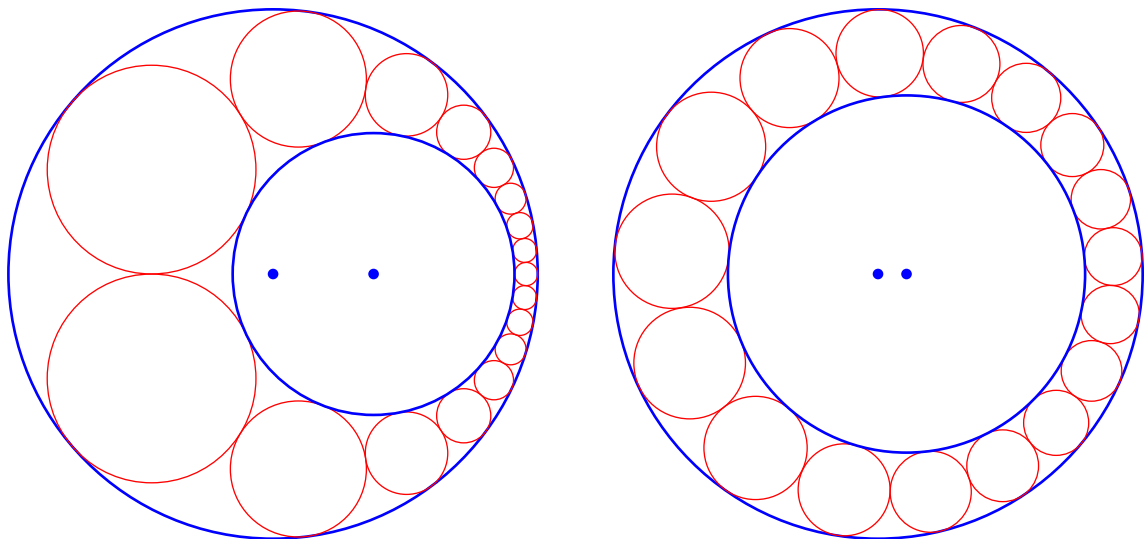
Proponiamo ora alcune figure, che illustrano varie situazioni relative al problema di Steiner.



**Figura 5:** *Porisma di Steiner: due configurazioni con  $n = 3$*



**Figura 6:** *Porisma di Steiner: due configurazioni con  $n = 8$*



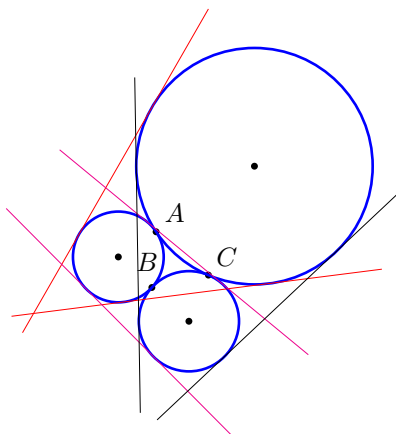
**Figura 7:** *Porisma di Steiner: due configurazioni con  $n = 17$*

## 6 Steiner e Apollonio: il caso $n = 3$

È interessante esaminare il Porisma di Steiner, nel caso  $n = 3$ , in senso inverso: date tre circonferenze  $\gamma_1, \gamma_2, \gamma_3$ , a due a due tangenti esternamente, determinare, se esistono, due circonferenze  $\mathcal{C}_1$  e  $\mathcal{C}_2$  tali che  $\gamma_1, \gamma_2, \gamma_3$  costituiscano una catena di Steiner relativa a  $\mathcal{C}_1$  e  $\mathcal{C}_2$ .

Si tratta, nella sostanza, di un caso particolare del problema di Apollonio,<sup>1</sup> che può essere risolto in maniera abbastanza semplice usando l'inversione circolare.

Il problema posto non ha sempre soluzioni: date le tre circonferenze  $\gamma_1, \gamma_2, \gamma_3$ , e considerate le due tangenti comuni "esterne" a due di esse, è necessario che la terza circonferenza intersechi almeno una di queste due tangenti. Si veda la figura che segue.

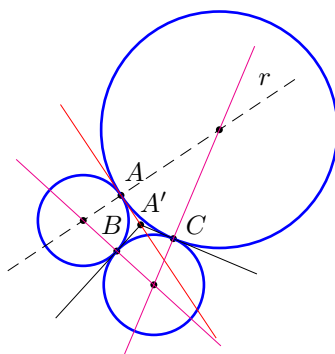


**Figura 8:** Condizioni per la risolubilità del Porisma di Steiner "inverso" (caso  $n = 3$ )

La costruzione di tre circonferenze esternamente tangenti può avvenire in vari modi. Segnaliamo qui uno dei possibili procedimenti.

- Data la prima circonferenza,  $\gamma_1$  di centro  $C_1$ , si costruisce facilmente la seconda,  $\gamma_2$ , prendendone il centro  $C_2$  su una qualunque semiretta  $r$  per  $C_1$  e facendola passare per il punto  $A$  di intersezione tra  $r$  e  $\gamma_1$ .
- A questo punto si tira la perpendicolare per  $A$  alla retta  $C_1C_2$  (che è l'asse radicale delle due circonferenze  $\gamma_1$  e  $\gamma_2$ ).
- Per un punto  $A'$  dell'asse radicale si tirano le ulteriori tangenti a  $\gamma_1$  e  $\gamma_2$ , indicando con  $B$  e  $C$  i punti di tangenza, rispettivamente su  $\gamma_1$  e  $\gamma_2$ .
- Il punto di intersezione,  $C_3$ , tra le rette  $C_1B$  e  $C_2C$  è il centro di una circonferenza  $\gamma_3$  tangente sia a  $\gamma_1$  che a  $\gamma_2$ .

È ovvio che si ottengono infinite circonferenze, a seconda della scelta di  $A'$ . Non in tutti i casi comunque, come già osservato, il problema che stiamo trattando avrà soluzione.



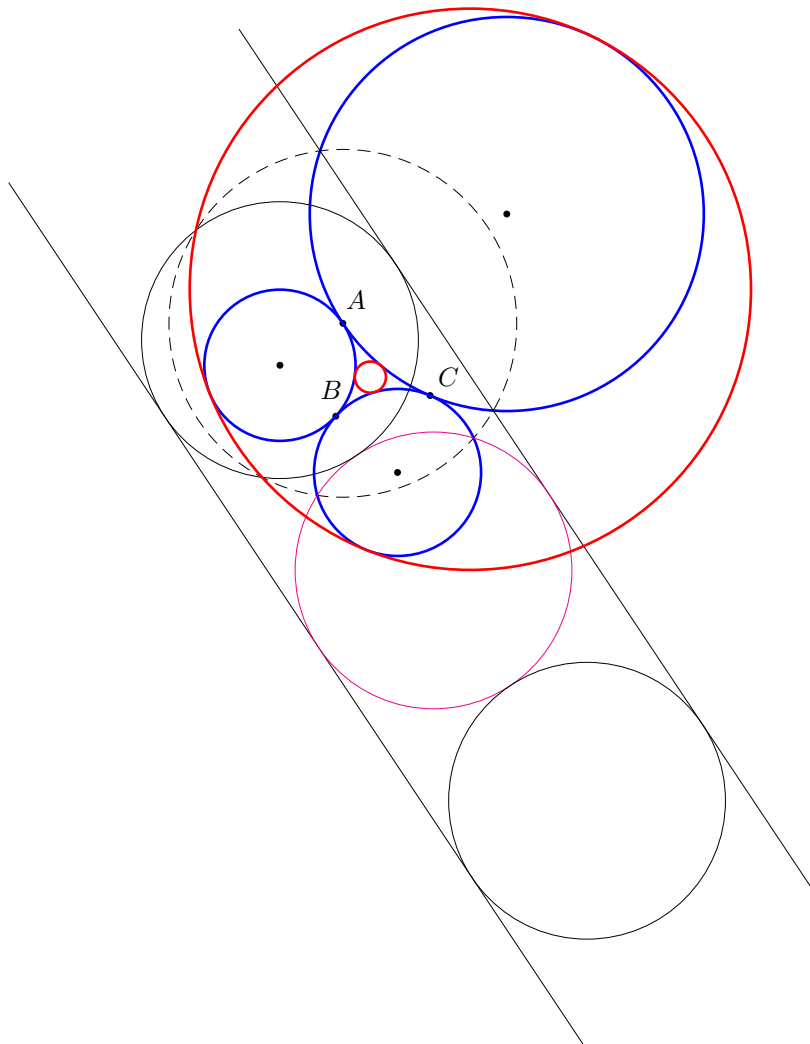
**Figura 9:** Costruzione di tre circonferenze esternamente tangenti

<sup>1</sup>Una trattazione completa del problema di Apollonio, comprensiva delle tecniche di costruzione delle figure con PSTricks, si può trovare in [http://www.batmath.it/latex/apollonio\\_pst.htm](http://www.batmath.it/latex/apollonio_pst.htm)

Per la costruzione delle due circonferenze  $\mathcal{C}_1$  e  $\mathcal{C}_2$  si può ora procedere nel modo di seguito indicato.

- Si considera un circolo di inversione con centro in  $A$ .
- Si costruiscono le due rette  $r_1$  ed  $r_2$ , tra di loro parallele, inverse delle circonferenze  $\gamma_1$  e  $\gamma_2$ .
- Si costruisce la circonferenza  $\gamma'_3$ , inversa di  $\gamma_3$ .
- Si costruiscono le circonferenze  $\delta_1$  e  $\delta_2$ , tangenti comuni a  $r_1$ ,  $r_2$  e  $\gamma'_3$ .
- Le inverse  $\mathcal{C}_1$  e  $\mathcal{C}_2$  di  $\delta_1$  e  $\delta_2$  sono le due circonferenze richieste.

La figura seguente illustra il procedimento descritto.



**Figura 10:** Porisma di Steiner “inverso” nel caso  $n = 3$